

Laboratorio I: Lancio dei dadi  
Controllo del  $\chi^2$  nella distribuzione  
Dipartimento di Fisica E.Fermi - Università di Pisa

Di Ubaldo Gabriele  
Giannelli Martina  
Torosantucci Andrea

17 Febbraio 2016

## Indice

<b>1</b>	<b>Introduzione</b>	<b>1</b>
1.1	Teoria . . . . .	1
1.2	Apparato sperimentale . . . . .	1
<b>2</b>	<b>Esperimento</b>	<b>2</b>
2.1	Acquisizione misure . . . . .	2
2.2	Analisi dei dati . . . . .	2
2.3	Grafici . . . . .	2
<b>3</b>	<b>Conclusione</b>	<b>3</b>

## 1 Introduzione

### 1.1 Teoria

### 1.2 Apparato sperimentale

- 3 Sfere indicate con  $S_i$
- Un profilo metallico ad angolo retto
- Calcolatore con programma di acquisizione dati Plasduino
- Due sensori ottici collegati al calcolatore
- Calibro ventesimale di risoluzione  $0.05mm$
- Metro a nastro di risoluzione  $1mm$
- Livella elettronica

Le sferette utilizzate sono indicizzate dalla più piccola alla più grande.

## 2 Esperimento

### 2.1 Acquisizione misure

Misurato l'angolo  $\alpha = 3^\circ$  con la livella elettronica, abbiamo scelto arbitrariamente 5 lunghezze  $l_i$ . Abbiamo rilevato con i sensori il tempo di percorrenza delle distanze  $l_i$  per la sfera  $S_1$  effettuando 5 misure per ogni lunghezza. Dopodichè abbiamo misurato i raggi delle sfere con il calibro e rilevato i tempi di percorrenza per le sfere  $S_2$  ed  $S_3$  per verificare l'indipendenza dell'accelerazione dalla forma e dalla massa della sfera in questione. Una fotocella è stata tenuta ferma per tutta la durata dell'esperimento e per variare la lunghezza abbiamo spostato solo la fotocella di partenza, inoltre abbiamo mantenuto costante e uguale la distanza tra il sensore e il profilo metallico nelle due fotocelle. L'angolo misurato è la media dei valori trovati per diversi punti del profilo.  $l_1 = 800 \pm 1mm$   $l_2 = 700 \pm 1mm$   $l_3 = 600 \pm 1mm$   $l_4 = 500 \pm 1mm$   $l_5 = 400 \pm 1mm$

Tabella 1: sfera 1

	$l_1$	$l_2$	$l_3$	$l_4$	$l_5$
$t_1(s)$	2.396	2.223	2.049	1.871	1.671
$t_2(s)$	2.382	2.222	2.048	1.874	1.667
$t_3(s)$	2.390	2.219	2.050	1.863	1.676
$t_4(s)$	2.382	2.219	2.055	1.867	1.687
$t_5(s)$	2.384	2.219	2.057	1.870	1.676

Tabella 2: Sfere 2 e 3

	$S_2$	$S_3$
$t_1(s)$	2.399	2.346
$t_2(s)$	2.390	2.354
$t_3(s)$	2.396	2.346
$t_4(s)$	2.391	2.348
$t_5(s)$	2.386	2.352

### 2.2 Analisi dei dati

È stata misurata la media dei tempi con la relativa deviazione standard e l'accelerazione con la relativa propagazione dell'errore:

$$s_\tau = \sqrt{\frac{1}{n-1} \sum_{i=1}^n (\tau_i - m_\tau)^2} \quad (1)$$

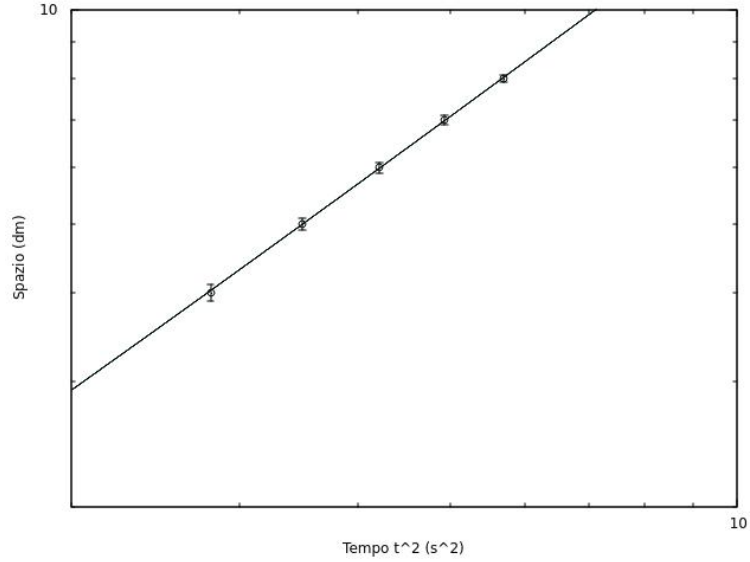
$$\Delta a = 2\Delta s + 2t\Delta t \quad (2)$$

### 2.3 Grafici

Il seguente grafico in carta bilogaritmica descrive la correlazione fra tempo di percorrenza al quadrato e lunghezza del percorso. È notevole che il grafico sia una retta perchè indica che la relazione fra le due variabili è descritta da una potenza che si ricava dalla pendenza della retta best fit. Gli errori sono aumentati di un fattore 10.

Tabella 3: Analisi dati

	$t_m(s)$	$\Delta t$	$a(m/s^2)$	$\Delta a$
$l_1$	2.386	0.006	0.284	$2.005 \times 10^{-6}$
$l_2$	2.220	0.002	0.284	$2.004 \times 10^{-6}$
$l_3$	2.052	0.004	0.285	$2.004 \times 10^{-6}$
$l_4$	1.869	0.004	0.284	$2.004 \times 10^{-6}$
$l_5$	1.675	0.007	0.286	$2.003 \times 10^{-6}$



### 3 Conclusione

I valori delle accelerazioni di  $S_1$  dimostrano che il modello fisico è corretto nel predire che l'accelerazione è costante al variare del percorso. Invece abbiamo notato una leggera deviazione di circa  $0.05s$  ( $2.345s$  rispetto a  $2.396s$ ) dai valori attesi per i tempi di percorrenza di  $S_3$ . Questa deviazione molto probabilmente è dovuta a delle nostre imprecisioni nella misurazione poichè i risultati di  $S_1$   $S_2$  confermano la validità del modello nel predire che l'accelerazione è indipendente dalla massa. Per verificare la precisione nella misura delle accelerazioni ale abbiamo usate per calcolare  $g$  con un risultato di:  $g = 9.77 \pm 6,9 \times 10^{-5}$  che si discosta di soltanto  $0.03$  dal valore misurato per Pisa.